

Oddziaływanie Promieniowania Jonizującego z Materią

Tomasz Szumlak, Agnieszka Obłąkowska-Mucha

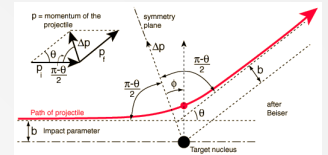
WFiIS AGH
2022, Kraków

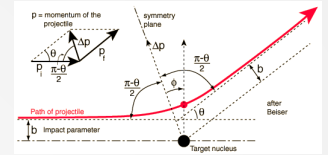
2

Theory is when you know everything but nothing works.

Practice is when everything works but no one knows why.

In our lab, theory and practice are combined: nothing works and no one knows why.





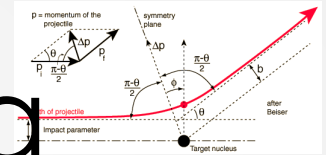
The difference between theory and practice is larger in practice than the difference between theory and practice in theory.

— Jan L. A. van de Snepscheut —

In theory, theory and practice are the same. In practice, they are not.

— Albert Einstein —

Odpowiedź detektora

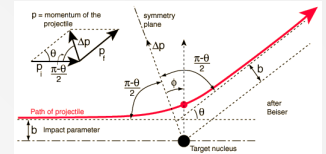


Zwykle, poza prostym stwierdzeniem **obecności** danego typu promieniowania detektory są zdolne do wykonania dodatkowych **pomiarów ilościowych** – położenie, energia cząstek, itp.

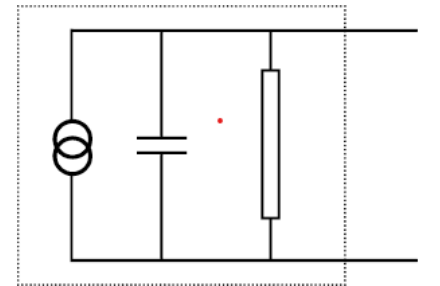
Np. w przypadku pomiaru energii, możemy wykorzystać fakt, że typowy detektor można traktować jako **źródło prądu** (depozycja energii i jonizacja powodują powstanie impulsu prądowego)

- ❑ **Liczba** wyprodukowanych **par nośników ładunku** (jonizacja) jest \sim **energii zdeponowanej** w detektorze (przy całkowitej absorpcji jest to miara energii cząstki)
- ❑ Elektronika odczytu może „podać” nam ilość wyprodukowanego na drodze jonizacji ładunku poprzez **całkowanie impulsów prądowych po czasie**
- ❑ **Całka** ta jest **proporcjonalna** do „wysokości” (amplitudy) impulsu (sygnału) – **pulse height**
- ❑ **Związek** pomiędzy energią promieniowania a wygenerowanym ładunkiem (lub wysokością impulsu) nazywamy **odpowiedzią detektora**

Sygnał



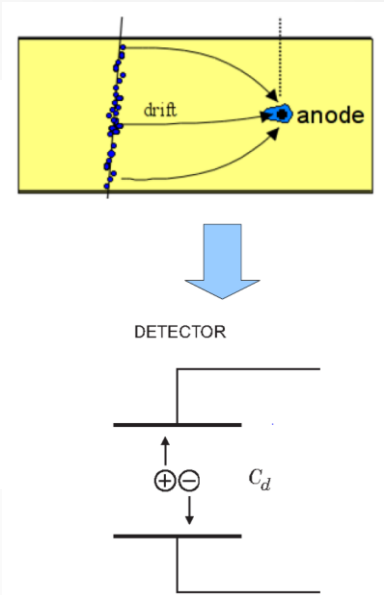
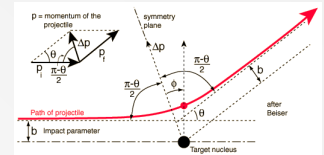
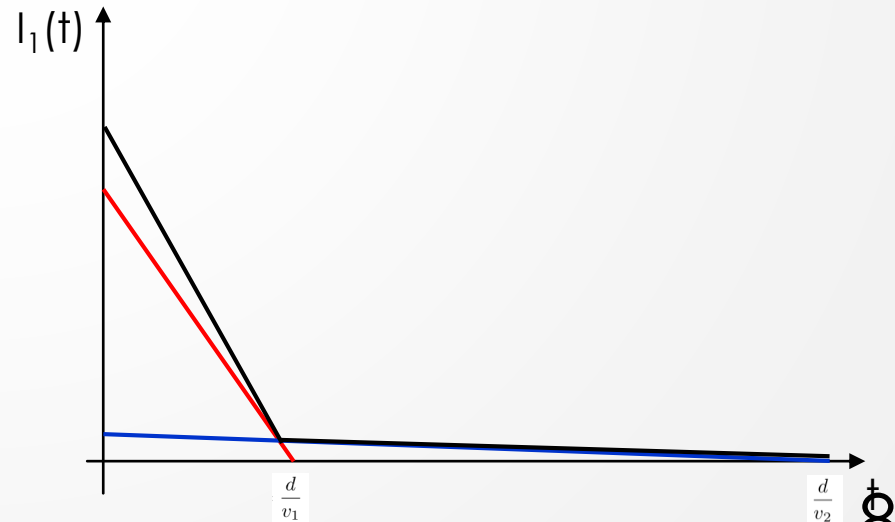
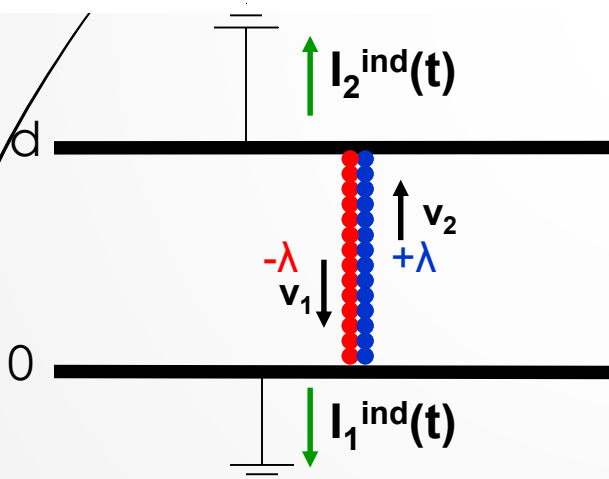
- ❑ Detektor z punktu widzenia elektroniki jest urządzeniem o bardzo dużej rezystancji.
- ❑ Interakcja cząstki z materią indukuje niewielki sygnał prądowy (impuls).
- ❑ Czas trwania impulsu: 100 ps (cienkie Si)-n10 μ s (scyntylatory).
- ❑ Dlatego detektor na schematach jest oznaczany jako źródło prądu z dużym oporem i małą pojemnością.
- ❑ Nawet przy braku promieniowania indukowany jest prąd zwany szumem (dark current, leakage current)
- ❑ Detektory zwykle pracują w trybie:
 - prądowym: jedynie pomiar prądu,
 - impulsowym: dodatkowo informacja o kształcie sygnału, czasie narastania i opadania, amplitudzie (najczęściej)
- ❑ Amplituda pulsu jest proporcjonalna do wielkości ładunku



Sygnal

- ❑ Sygnal w detektorze pochodzi z **indukowanego pola wywołanego poruszającymi się ładunkami**. Jak ładunki dotrą do elektrod sygnal się kończy (teoria Ramo Shockley)

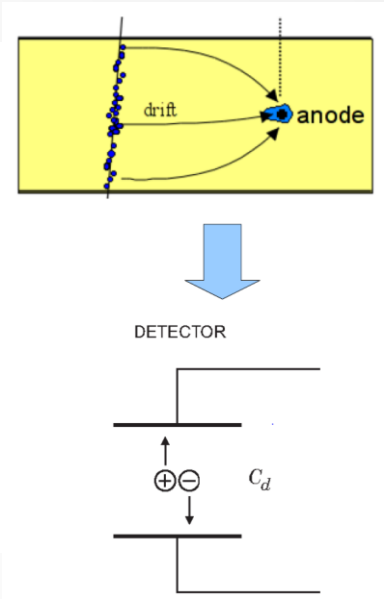
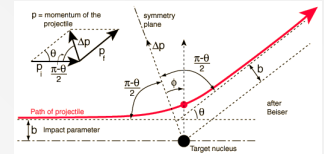
$$I_{ind}(t) = \frac{dQ_{ind}(t)}{dt}$$



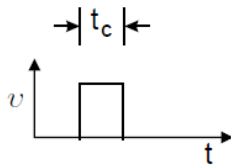
Sygnal?

- ❑ Detektor jest reprezentowany jako kondensator o pojemności C_d
- ❑ Potencjał liczony jest z równania Laplacea
- ❑ Energia zdeponowana (a o taki pomiar nam chodzi) przez przechodzącą cząstkę generuje mały impuls:

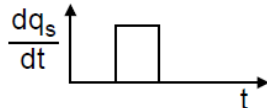
$$E_K \propto Q_s = \int i_s(t) dt$$



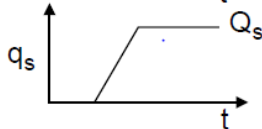
velocity of charge carriers



rate of induced charge on sensor electrodes

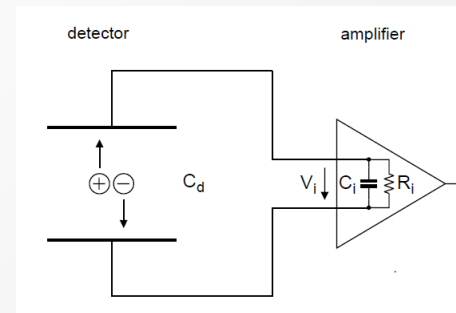


signal charge

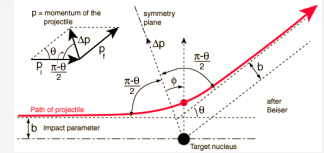


- ❑ Sygnały są niewielkie (Si: 50 aC dla X, 4 fC dla ciężkich), stąd w następnym kroku stosowane są wzmacniacze. Generuje to szumy z elektroniki

$$V_i = \frac{Q_s}{C_d + C_i}$$



Signal-to-Noise ratio



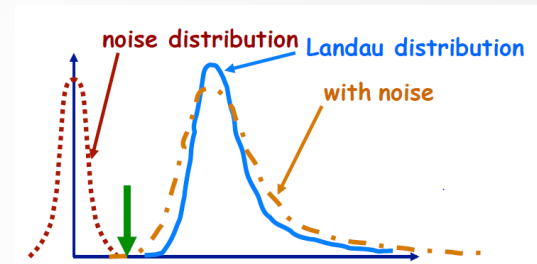
- ❑ Podstawowym zadaniem projektu detektora jest jak najlepszy stosunek signal-to-noise ratio (SNR).
- ❑ Szumy mogą pochodzić z samego procesu detekcji i z elektroniki:

$$\Delta E = \sqrt{\Delta E_{flukt}^2 + \Delta E_{noise}^2}$$

- Fluktuacje depozytów energii
- fluktuacje odczytu związane np. z konwersją $\gamma - e$ w fotopowielaczach

Szumy z elektroniki:

- szum termiczny (związany z poruszaniem się nośników)
- shot noise związany z statystycznym procesem produkcji nośników (Poisson distr)



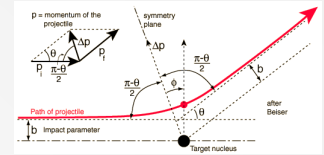
- ❑ SNR jest odwrotnie prop. do pojemności wejściowej

$$\frac{V_s}{V_n} = \frac{Q_s}{V_n (C_d + C_i)}$$

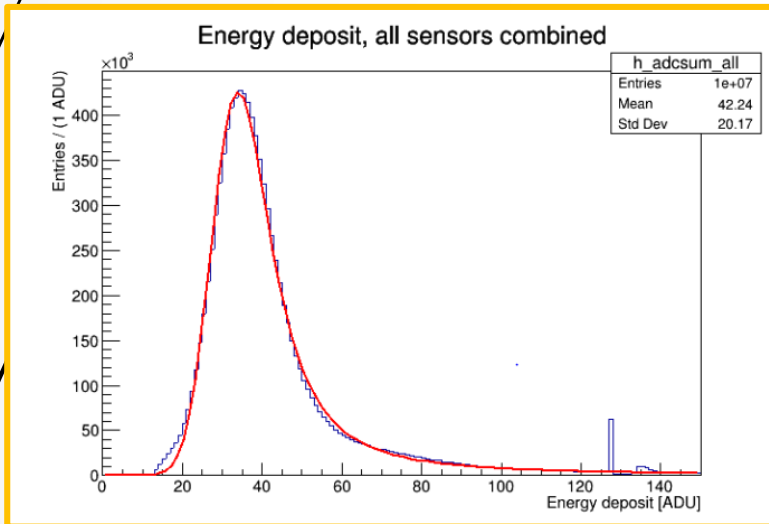
Szum z detektora

Grube detektory mają zwykle większe szumy

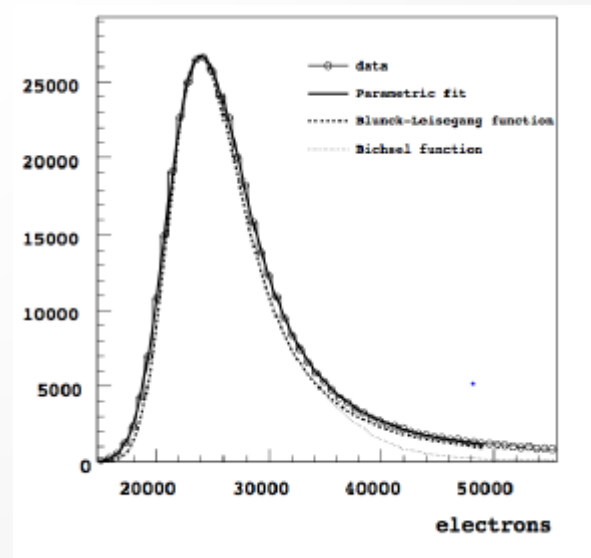
Signal-to-Noise ratio



- ❑ SNR poprawi się również, gdy sygnał jest odpowiednio kształtowany (p. kursy elektroniki)
- ❑ Rzeczywiste sygnały z detektorów wyglądają tak:

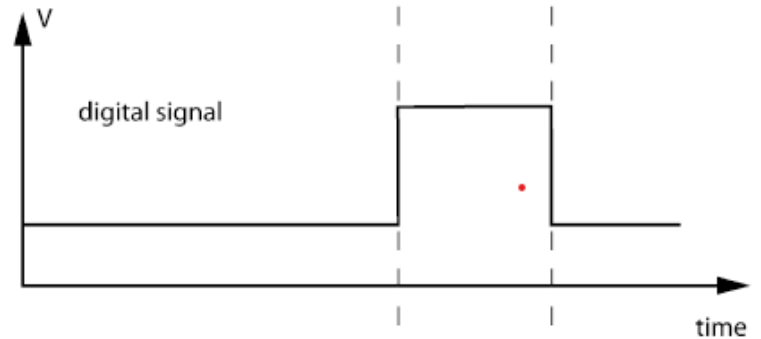
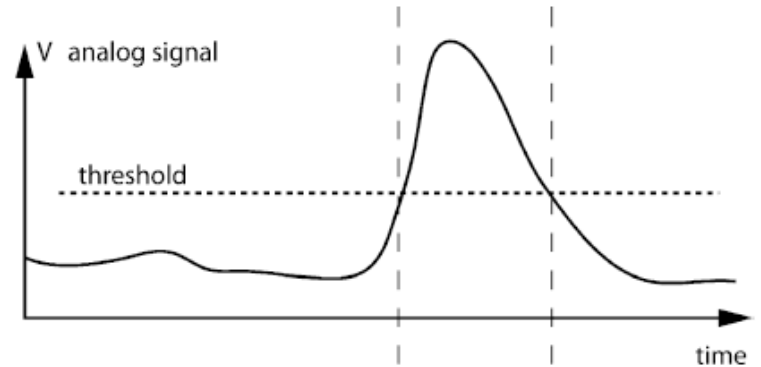
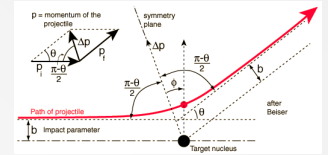


choć fizycy widzą je tak:

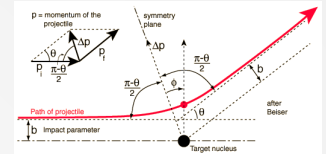


Impuls

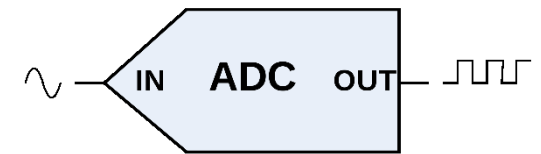
- ❑ Elektronika front-end ma próg (powyżej szumu), od którego rejestruje sygnał.
- ❑ Jeśli sygnał jest poniżej progu – output to „0”, powyżej – „1”.



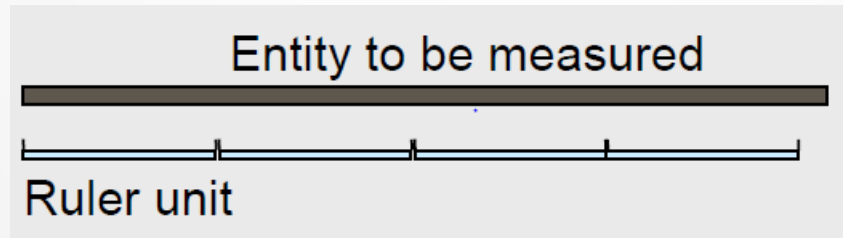
Analog to digital conversion (oczami fizyka)



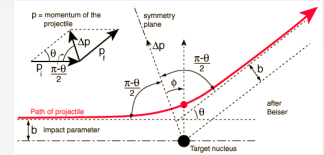
- ❑ Digitalizacja sygnału to zamiana (kodowanie) wartości analogowej (ciągłej) do wartości binarnej (0-1).
- ❑ Pozwala to na dalsze procesowanie i zapis sygnału przy użyciu elektroniki cyfrowej i komputerów.



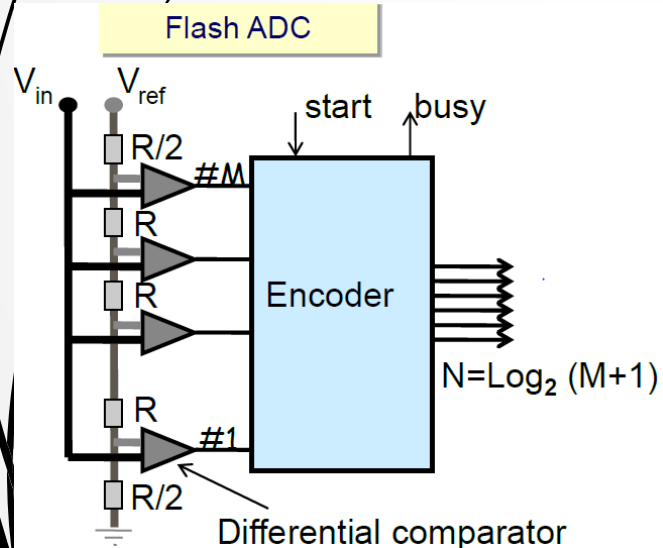
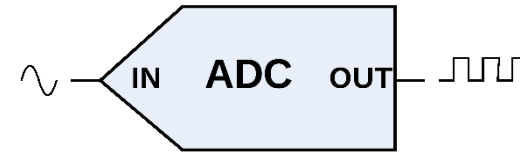
- ❑ Mamy do zmierzenia stół przy pomocy miarki z podziałką:



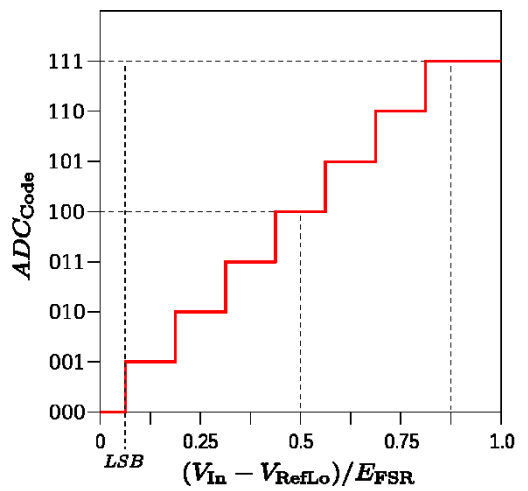
Analog to digital conversion (oczami fizyka)



- ❑ Digitalizacja sygnału to zamiana (kodowanie) wartości analogowej (ciągłej) do wartości binarnej (0-1).
- ❑ Pozwala to na dalsze procesowanie i zapis sygnału przy użyciu elektroniki cyfrowej i komputerów.

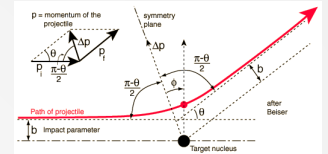


Napięcie V_{in} jest porównywane z V_{ref} .
Wynik jest zapisywany w postaci binarnej



co dalej?
p. kurs DAQ

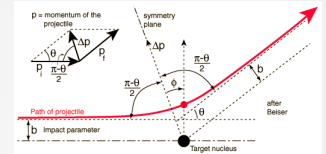
Własności detektorów



□ Dzisiaj zajmiemy się sposobem ilościowego opisu najważniejszych cech detektorów, których używamy w praktyce

- Rozdzielczość (energetyczna i przestrzenna)
- Pomiar czasu
- Czas martwy
- Czułość
- Wydajność detekcji
- Funkcja Odpowiedzi

Własności detektorów

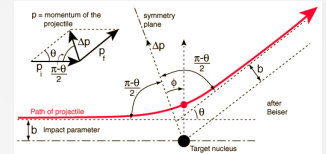


- Fizyk jest zainteresowany **wynikiem pomiaru** i musi stawić czoła jego **niepewności** – na tej podstawie sformułuje hipotezę.
- Czynnikiem mającym decydujący wpływ na niepewność pomiaru jest **rozdzielczość detektora**.
- Rozdzielczość to **niepewność zmierzonej wartości** – mierzymy coś wielokrotnie i za każdym razem dostajemy trochę inną wartość.
- **Zdolność rozdzielcza** to możliwość rozróżnienia pomiarów – przychodzących w bliskich odstępach czasowych lub energetycznych (lub pędowych)
- Im lepsza rozdzielczość detektora tym lepiej pozwoli on na rozróżnienie cząstek.
- **Czułość** to zdolność do podania odpowiedzi na minimalny sygnał

Niepewności statystyczne

- ❑ Dokładność pomiaru jest ograniczona:
 - Niepewnościami statystycznymi procesu fizycznego, który detektor ma rejestrować (rozpady, pr-twa przejścia, itp.) – niepewności teoretyczne.
 - Fluktuacjami w depozytach energii i produkcji ładunków.
 - Fluktuacjami w odpowiedzi detektora (szумы).
 - Konstrukcją, geometrią detektora.

Pomiary jonizacji



- ❑ Ogólnie **materiał czynny**, w którym dochodzi do jonizacji może być:
 - ❑ Gazem
 - ❑ Ciałem stałym (solid-state)
- ❑ Całkowita jonizacja, N_T , (liczba par nośników, które zostały wygenerowane) wynosi:

$$N_{Tot} = \frac{\Delta E}{W}$$

- ❑ Gdzie: ΔE – całkowita strata jonizacyjna energii, W – średnia energia potrzebna do generacji pary „jon”-elektron (dla gazów $\sim 30 eV$ dla krzemu (germanu) $\sim 3.6 eV$ ($\sim 2.8 eV$))
- ❑ Liczba wygenerowanych nośników jest **zmienną losową** – dla detektorów „ss” fluktuacje N_{Tot} są oczywiście znacznie mniejsze!

Zdolność rozdzielcza

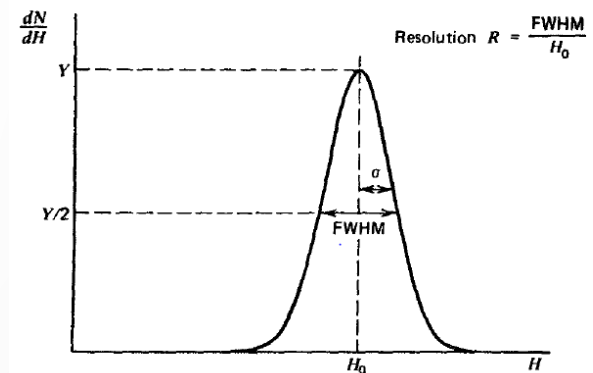
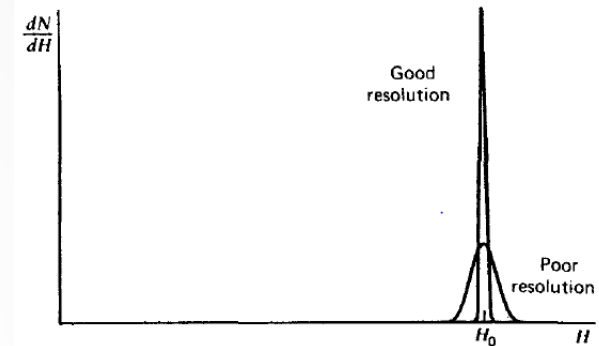
- ❑ Jeśli zadaniem detektora jest pomiar energii, to kluczowym parametrem jest **energetyczna zdolność rozdzielcza** określona jako jego **odpowieź (funkcja odpowiedzi)** na monoenergetyczne źródło promieniowania.
- ❑ Formalna definicja **EZR R [%]**:

$$R = \frac{FWHM}{H_0} = \frac{2.35 \sigma}{H_0}$$

- ❑ Dla półprzewodników $R=1\%$, scyntylatorów $R=5-10\%$.
- ❑ Dla lepszych zdolności rozdzielczych detektor może z większą dokładnością rozróżnić dwie energie leżące blisko siebie.

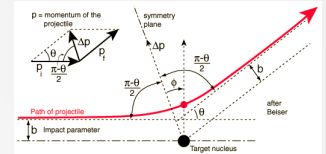
- ❑ Bardzo ogólnie:

$$FWHM_{tot}^2 = FWHM_{stat}^2 + FWHM_{szum}^2 + FWHM_{dryft}^2 + \dots$$



$$G(H) = \frac{A}{\sigma \sqrt{2\pi}} \exp\left(-\frac{(H - H_0)^2}{2\sigma^2}\right)$$

Zdolność rozdzielcza



- ❑ Opierając się na założeniach z poprzedniego slajdu, powiemy, że dwie **energje**, które oddalone są od siebie o mniej niż **wartość FWHM** zmierzoną dla widma energii cząstek monochromatycznych, **nie mogą być rozróżnione**
- ❑ Daje nam to również w praktyce **względną miarę** rozdzielczości danego detektora przy **energii E**

$$\sigma_E = \sigma(E) = \frac{\Delta E}{E}$$

,FWHM' – Full Width at Half Max.

- ❑ Typowe rozdzielczości energetyczne wahają się od $\sim a \cdot 10\%$ dla kalorymetrów do $\sim 0.1\%$ dla detektorów półprzewodnikowych (wartości podane dla fotonów γ o energii około 1 MeV)
- ❑ Rozdzielczość energetyczna jest funkcją energii (UWAGA! „**duża**” rozdzielczość oznacza **małą wartość σ_E**)
- ❑ Dla większych wartości energii zdolność rozdzielcza polepsza się

Zdolność rozdzielcza (stat)

- ❑ Jeśli założymy, że odpowiedź detektora (p. slajdy za chwilę) jest liniowa:
 $H_0 = K N$
 - A formacja ładunku ma rozkład Poissona z fluktuacjami o odchyleniu standardowym $\sigma = \sqrt{N}$, czyli $\sigma = K \sqrt{N}$
 - I fluktuacje sygnału mają rozkład gaussowski, to fluktuacje statystyczne ograniczają RZR R „od dołu”, jak:

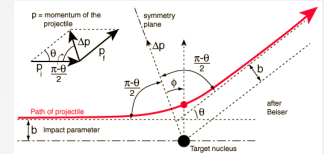
$$R_{gr} = 2.35 \frac{K\sqrt{N}}{KN} = \frac{2.35}{\sqrt{N}}$$

- Co oznacza, że ograniczenie na R zależy od wyłącznie od liczby wytworzonych nośników.
- ❑ Aby otrzymać R ok. 1% potrzeba $N > 55\,000$ (🧡 dla półprzewodników).
- ❑ Ciekawą obserwacją stało się, że rzeczywista R_{gr} jest lepsza (tzn. niższa) od wartości otrzymanej wyłącznie z obliczeń statystycznych o **czynnik Fano**:

$$F \equiv \frac{\sigma_{obs}^2}{\sigma_{Poiss}^2}, \text{ a zatem: } R_{gr} = 2.35 \frac{K\sqrt{N}\sqrt{F}}{KN} = 2.35 \sqrt{\frac{F}{N}}$$

Tłumaczone jest to korelacjami w procesach prowadzących do produkcji ładunku

Pomiary jonizacji



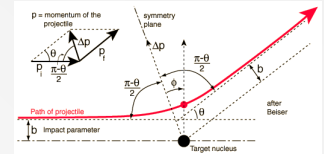
- ❑ W problemie **pomiaru energii**, musimy założyć, że liczba wyprodukowanych par j-e jest **proporcjonalna do energii cząstki** (uwaga – w tym przypadku detektor działa jak kalorymetr – pochłania całą energię cząstki)
- ❑ Rozdzielczość pomiaru (dokładność) będzie zależeć od średniej liczby wyprodukowanych par j-e $\langle N \rangle$
- ❑ Dokładna analiza statystyczna prowadzi do wyrażenia:

$$\sigma^2 = F \cdot \langle N \rangle$$

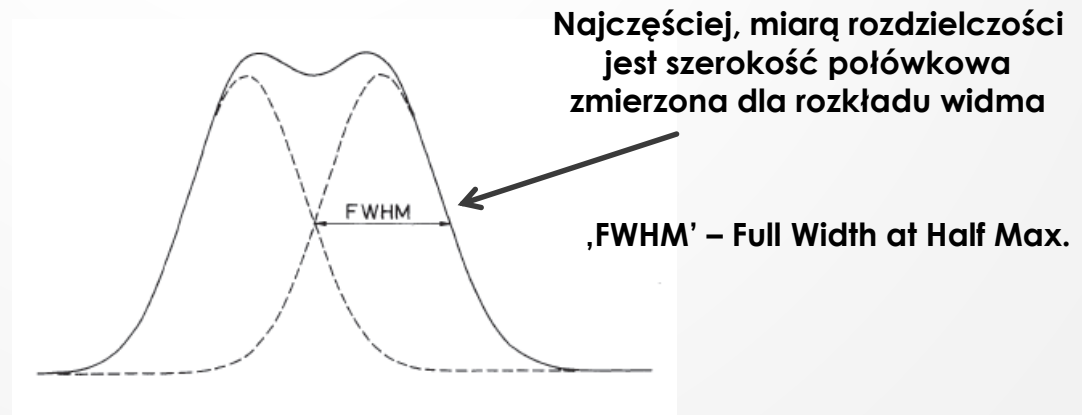
Absorber	F
Ar + 10% CH ₄	≈ 0.2
Si	0.12
Ge	0.13
GaAs	0.10
Diamond	0.08

- ❑ **Współczynnik Fano**, F , zależy od materiału czynnego
- ❑ **Zwiększa rozdzielczość** energii detektora w porównaniu do tej, którą otrzymalibyśmy zakładając jedynie zależność do fluktuacji w produkcji par j-e

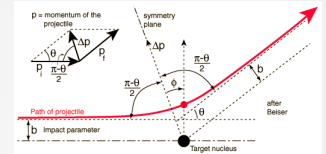
Zdolność rozdzielcza



- ❑ Ogólnie, możemy powiedzieć, że rozdzielczość energetyczna jest **miarą zdolności „rozdzielenia”** dwóch różnych wartości energii przechodzących cząstek.
- ❑ Praktyczny pomiar zdolności rozdzielczej danego detektora, może być zrealizowany poprzez **pomiar odpowiedzi** tego detektora (widmo) na **monochromatyczną** wiązkę promieniowania – KALIBRACJA
- ❑ Dla „idealnego” detektora odpowiedź powinna być bliska funkcji Dirac’a
- ❑ Dla „rzeczywistego” urządzenia obserwowany „pik” jest mniej lub bardziej rozmyty i jest bliski rozkładowi Gauss’a



Zdolność rozdzielcza



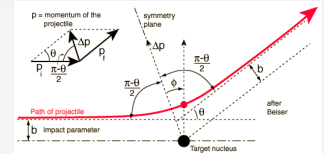
- ❑ Fakt **poprawy zdolności rozdzielczej wraz z energią** możemy wyjaśnić używając rozważań statystycznych
- ❑ Procesy jonizacji oraz wzbudzenia podlegają statystyce Poisson'a
- ❑ Jeżeli weźmiemy pod uwagę, że średnia energia na jonizację, W , jest stała i zależy od materiału czynnego to liczba aktów jonizacji dla cząstki, która zdeponowała w detektorze energię E wynosi:

$$N_{Jon} = \frac{E}{W}$$

- ❑ Interpretacja – dla większych energii zdeponowanych rośnie średnia liczba aktów jonizacji – czyli jesteśmy mniej czuli na fluktuacje
- ❑ Popatrzmy na przypadek, gdy pomiar dotyczy straty energii, $\frac{dE}{dx}$ przez cząstkę jonizującą (bez całkowitej absorpcji) – liczba wzbudzeń podlega rozkładowi Poisson'a, którego wariancja wynosi:

$$\sigma_{Jon}^2 = N_{Jon}$$

$$\sigma_E = 2.35 \frac{\sqrt{N_{Jon}}}{N_{Jon}} = 2.35 \sqrt{\frac{W}{E}}$$



Czułość – zdolność do wytworzenia **użytecznego technicznie** sygnału dla danego **typu promieniowania** oraz **danej energii**

Powyższe stwierdzenie nie jest trywialne – **nie da się** zbudować „uniwersalnego” detektora czułego na dowolny typ promieniowania o dowolnej energii...

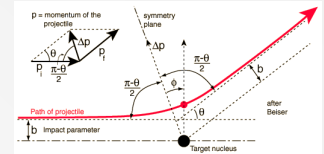
Co powinniśmy wziąć pod uwagę...

- Przekrój czynny na jonizację w danym materiale czynnym
- Masę materiału czynnego
- Szum (inherent/intrinsic device noise) – warstwa elektroniki odczytu
- Materiał „martwy” (np. potrzebny do praktycznej realizacji detektora)

Przekrój czynny (fizyka procesu) oraz masa detektora związane są z prawdopodobieństwem depozytu energii

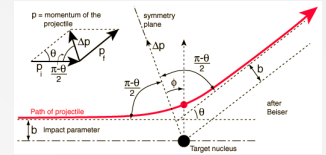
- Cząstki naładowane – „mały” detektor
- Cząstki neutralne – „duży” detektor (neutralne → naładowane)

Czułość



- ❑ **Próg detekcji** – minimalna zdeponowana energia – zależy od szumu wytwarzanego przez detektor (materiał czynny + elektronika odczytu)
- ❑ Inaczej mówiąc – zdeponowana energia musi być wystarczająca, aby wytworzyć technicznie użyteczny sygnał
- ❑ **Całkowita jonizacja** (~ zdeponowana energia) zależy, dla danego typu promieniowania oraz danej energii, jedynie od **materiału czynnego detektora**
- ❑ Wszelkiego rodzaju infrastruktura (**materiał martwy**) może spowodować znaczną absorpcję promieniowania – jest to więc kolejny czynnik ograniczający minimalną energię jaka może zostać zmierzona przez dany typ detektora (okienka)

Statystyka



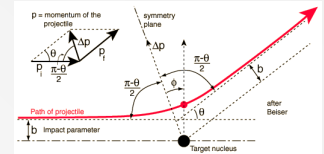
- ❑ Załóżmy, że chcemy „wymyśleć” **metrykę**, która opisywałaby jakość pomiaru danej wielkości realizowanej przez detektor
 - ❑ Wielkość mierzona może być bardzo różna (czas, energia, położenie,...)
 - ❑ Pomiar ma naturę statystyczną i to właśnie w języku statystyki musimy wyrazić naszą metrykę
 - ❑ Czy dla różnych wielkości mierzonych możemy opracować **wspólną metrykę**? To byłoby bardzo eleganckie...

- ❑ Załóżmy, że mierzymy energię fotonów (niech to będzie wiązka monochromatyczna o energii E_0), ale jako E można wstawić dowolny parametr, np. położenie lub czas.
- ❑ Jeżeli wartość zmierzoną energii (zawsze inną!!) oznaczymy jako E_r to możemy zbadać własności rozkładu zmiennej losowej $E = E_r - E_0$
- ❑ Wartość oczekiwaną rozkładu oraz jego wariancję możemy wyznaczyć jako:

$$\langle E \rangle = \frac{\int_{-\infty}^{+\infty} E \cdot R(E) dE}{\int_{-\infty}^{+\infty} R(E) dE}$$

$$\sigma_E^2 = \frac{\int_{-\infty}^{+\infty} (E - \langle E \rangle)^2 \cdot R(E) dE}{\int_{-\infty}^{+\infty} R(E) dE}$$

Rozkład normalny



- ❑ W wielu przypadkach wyniki mają rozkład normalny (Gausa):

$$D(z) = \frac{1}{\sigma_z \sqrt{2\pi}} e^{-(z-z_0)^2 / 2\sigma_z^2}$$

- ❑ Prawdziwa wartość z_0 jest nieznana, ale możemy wprowadzić pojęcie przedziału ufności:

$$1 - \alpha = \int_{\langle z \rangle - \delta}^{\langle z \rangle + \delta} R(z) dz, \delta = \sigma_z$$

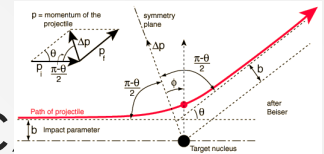
- Czyli 68.27% wszystkich wyników ma być w przedziale $[z_0 - \sigma_z, z_0 + \sigma_z]$, 95.45% w $z_0 \pm 2\sigma_z$, itp.
- Lub też: 95% jest w przedziale $z_0 \pm 1.96\sigma_z$, itp.

$$1 - \alpha = 95\% \rightarrow \delta = 1.96\sigma_z$$

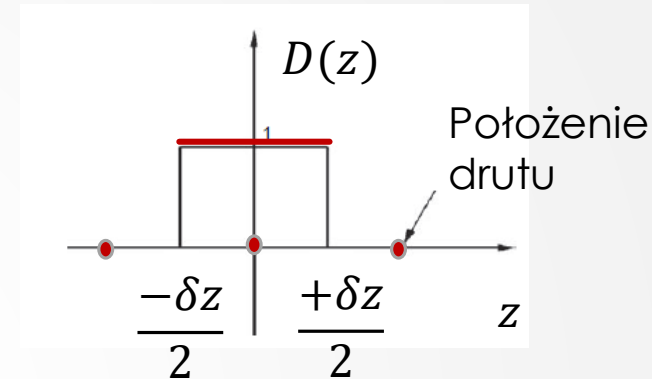
- ❑ Jeżeli rozkład posiada „ogony”, które są inne niż w przypadku rozkładu normalnego do opisu szerokości rozkładu używamy:

$$\sigma_{FWHM} = 2\sqrt{2\ln(2)} \cdot \sigma_z = 2.35\sigma_z$$

Przestrzenna zdolność rozdzielc



- ❑ Moglibyśmy również opisać rozdzielność w przestrzeni położenia, np. wyznaczyć odchylenie standardowe w pomiarze położenia np. w komorze wielodrutowej:
- ❑ Zakładając pomiar „binarny” dostaniemy:



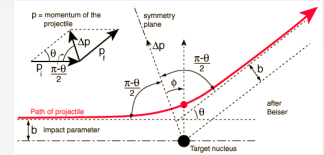
$$\langle z \rangle = \frac{\int_{-\delta z/2}^{+\delta z/2} z \cdot R(z) dz}{\int_{-\delta z/2}^{+\delta z/2} R(z) dz} = \frac{\int_{-\delta z/2}^{+\delta z/2} z \cdot C dz}{\int_{-\delta z/2}^{+\delta z/2} dz} = \frac{z^2}{2} \Big|_{-\delta z/2}^{+\delta z/2} = 0$$

$$\sigma_z^2 = \frac{\int_{-\delta z/2}^{+\delta z/2} (z - 0)^2 \cdot C dz}{\int_{-\delta z/2}^{+\delta z/2} R(z) dz} = \frac{1}{\delta z} \int_{-\delta z/2}^{+\delta z/2} z^2 \cdot dz = \frac{\delta z^2}{12}$$

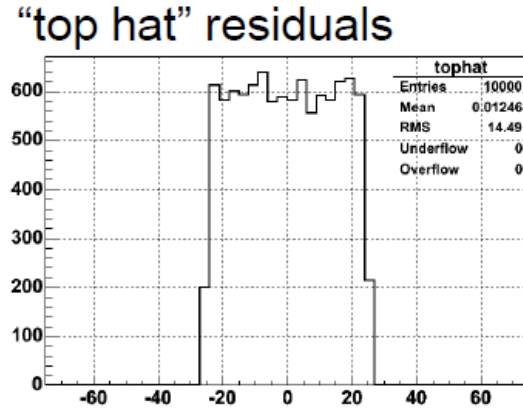
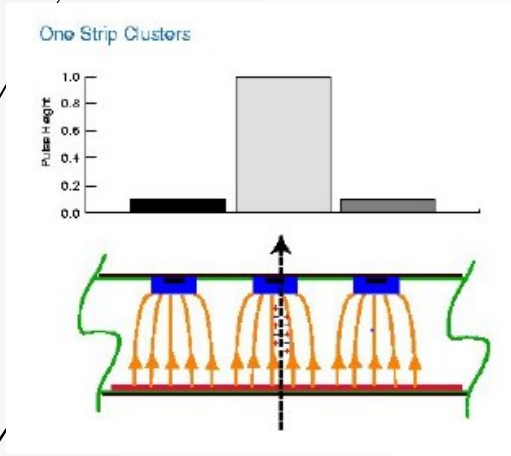
- ❑ Możemy więc przestrzenną zdolność rozdzielczą komory drutowej wyrazić jako:

$$\sigma_z = \frac{\delta z}{\sqrt{12}}$$

Zdolność rozdzielcza

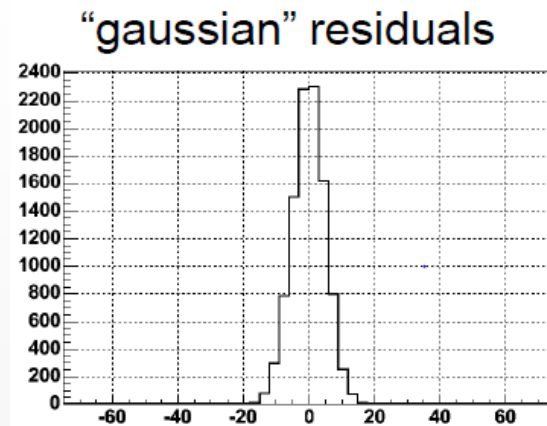
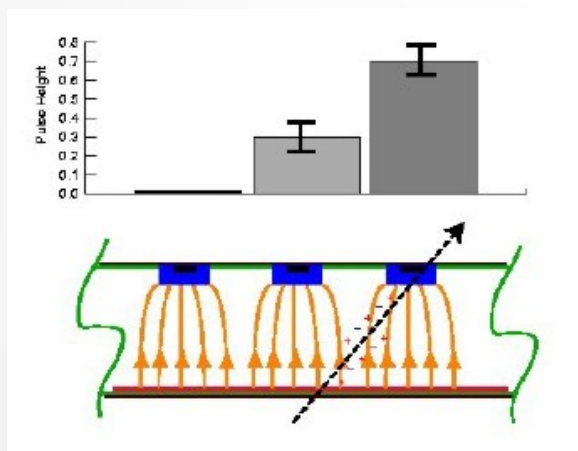


- Podobny rachunek można zrobić dla miropaskowego detektora krzemowego:



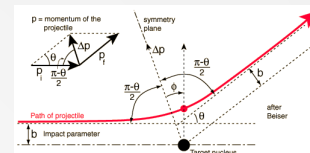
$$\sigma = \frac{\text{pitch}}{\sqrt{12}}$$

- Ale tu mamy dodatkowy pomiar dla sygnałów, które generowały ładunek w więcej niż jednym pasku, co poprawia zdolność rozdzielczą!



$$\sigma \approx \frac{\text{pitch}}{1.5 * (S/N)}$$

Wydajność detekcji



- ❑ Problem taki możemy interpretować jako proces Bernoulli'ego
 - ❑ Zdarzenia są niezależne
 - ❑ Możliwe są tylko dwa stany: cząstka została zarejestrowana lub nie

$$f(n, r, p) = \binom{n}{r} p^r q^{n-r}$$

- ❑ Powyższy rozkład pozwala na oszacowanie prawdopodobieństwa że detektor zarejestrował r przypadków w n próbach
- ❑ Wartość oczekiwana i wariancja wynoszą:

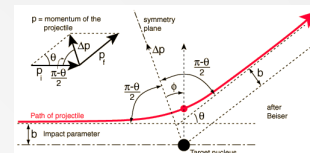
$$\langle r \rangle = np, \sigma^2 = npq$$

- ❑ Załóżmy, że zmierzaliśmy wydajność detekcji $p = 95\%$, w 100 pomiarach spodziewamy się 95 obserwacji (średnio) a błąd pomiaru wyniesie:

$$\sigma = \sqrt{npq} = \sqrt{100 \cdot 0.95 \cdot 0.05} = 2.18$$

$$p = (95 \pm 2.18)\%$$

Wydajność



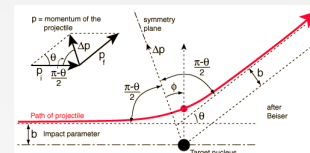
- ❑ **Wydajność detekcji** jest parametrem krytycznym z punktu widzenia każdego eksperymentu – musi zostać uwzględniona w analizie wyników!
- ❑ Zwykle wyznaczenie wydajności jest jedną z **najważniejszych** i zarazem **najtrudniejszych** części eksperymentu
- ❑ Rozważania na temat wydajności rozpoczyna się od wprowadzenia pojęcia wydajności **absolutnej** oraz wydajności **wewnętrznej** detektora

$$\epsilon_{Tot} = \frac{\text{liczba zarejestrowanych przypadków}}{\text{liczba wszystkich przypadków emitowanych ze źródła}}$$

- ❑ Ogólnie zależy od geometrii detektora i prawdopodobieństwa (czyli przekroju czynnego) oddziaływania
- ❑ Bardzo często całkowitą wydajność możemy przedstawić jako **iloczyn** (dlaczego?) wydajności **wewnętrznej** oraz **akceptancji** (wydajność geometryczna)

$$\epsilon_{Tot} = \epsilon_{Int} \epsilon_{Geo}$$

Wydajność



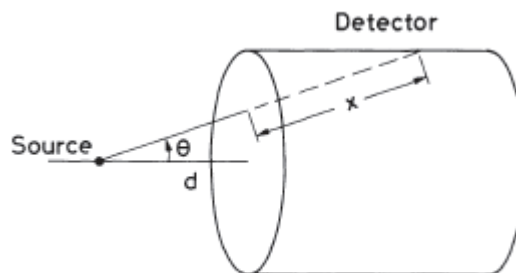
- Dla wydajności wewnętrznej definicja wygląda następująco:

$$\epsilon_{Int} = \frac{\text{liczba przypadków zarejestrowanych}}{\text{liczba przypadków rekonstruowalnych}}$$

- Ta część wydajności detektora zależy więc od przekroju czynnego na oddziaływanie danego typu promieniowania z materiałem czynnym

$$\epsilon_{Int} = \epsilon_{Int}(\text{Promieniowanie}, E, \text{Materiał})$$

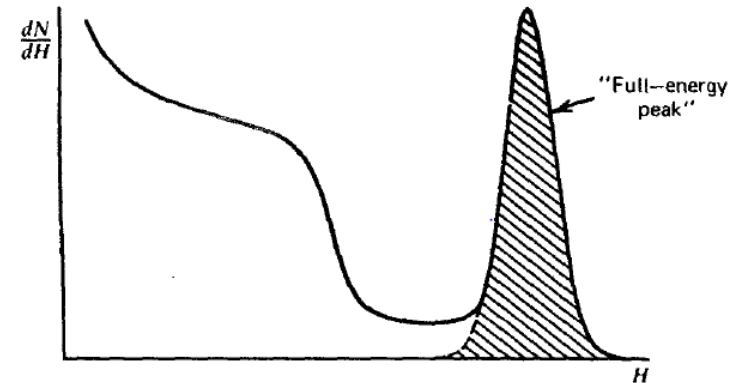
- Akceptancja detektora zależy wyłącznie od jego geometrii oraz od **rozkładu kąтового promieniowania**, które chcemy zbadać
- Zwykle, wydajność geometryczną możemy traktować jako pewną stałą proporcjonalną do kąta bryłowego zdefiniowanego przez materiał czynny



Wydajność

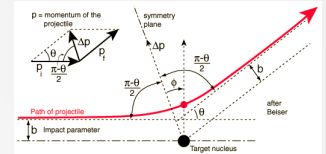
□ Definiujemy również:

- Całkowitzą wydajność (sumujemy wszystkie sygnały, bez względu skąd pochodzą),
- Wydajność w maksimum (peak efficiency): sygnały tylko od całkowitzych depozytów



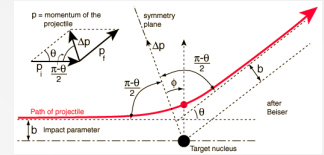
- I tu dochodzimy do problemu **funkcji odpowiedzi detektora i kalibracji**,
- Pamiętajmy na początek, że średnia z pomiarów $\langle z \rangle$ może mieć mało wspólnego z wartością rzeczywistą z_0

Funkcja odpowiedzi



- ❑ Jednym z typowych zastosowań detektorów promieniowania jest pomiar **widma energii** promieniowania
- ❑ Pamiętając o przeprowadzonej właśnie dyskusji dotyczącej odpowiedzi detektora na cząstki mono-energetyczne dochodzimy do wniosku, że istotnym czynnikiem, który należy wziąć pod uwagę jest **zachowanie się detektora** – czyli jego odpowiedź na dany typ promieniowania
- ❑ Zachowanie to – opisujemy przy pomocy **funkcji odpowiedzi** – która jest **widmem impulsów** prądowych produkowanym przez nasz detektor w rezultacie oddziaływania z wiązką mono-energetyczną
- ❑ W idealnym przypadku chcielibyśmy, żeby dla **określonej energii** cząstek detektor produkował **impuls o stałej amplitudzie** (rozkład mniej lub bardziej przypominający rozkład normalny)
- ❑ **Postać** funkcji odpowiedzi zależy od **typu promieniowania**, który badamy czyli od tego jaki jest **mechanizm jego oddziaływania** z materiałem czynnym naszego urządzenia
- ❑ Dla rzeczywistego urządzenia, znaczenie ma również jego geometria i budowa (np. materiał martwy)

Kalibracja



- ❑ Związek pomiędzy zrekonstruowaną (bądź zmierzoną) wartością a „prawdziwą” musi być zwykle ustalony na podstawie procedury **kalibracji** (wyskalowania detektora)
- ❑ W najprostszym przypadku związek taki jest liniowy

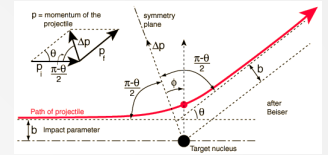
$$\langle X \rangle = \kappa_{Kalib}(t) \cdot m + d$$

- ❑ W ogólności jednak może być skomplikowaną, trudną do wyznaczenia funkcją

$$\langle X \rangle = f_{Kalib}(m, t) \cdot m + d$$

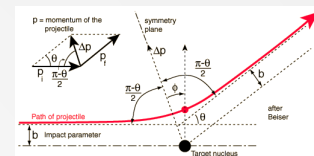
- ❑ Pomiar kalibracyjny powinniśmy traktować jako pierwszy pomiar fizyczny uzyskany przy pomocy danego urządzenia
- ❑ Bez dokładnego procesu kalibracji wyniki uzyskane dla detektora mogą być **bezużyteczne!**

Alignment



- ❑ Alignment to kalibracja ustawienia detektora względem Ziemi lub względem pozostałych części detektora.
- ❑ Jak detektor pikselowy ma rozdzielczość rzędu mikrometrów, to z taką precyzją powinno być znane położenie detektora.
- ❑ Alignment może być wykonywany przy użyciu technik geodezyjnych (OPERA) lub laserowych.
- ❑ Alignment częściej jest wykonywany albo softwarowo lub przy pomocy wzorcowych pomiarów (LHCb – pomiary wierzchołków oddziaływań).
- ❑ Bez dokładnego alignmentu wyniki uzyskane dla detektora mogą być **bezużyteczne!**

Funkcja odpowiedzi

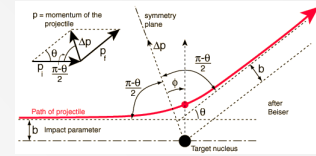


Wykonajmy następujący eksperyment myślowy – co się dzieje gdy wiązka elektronów o danej energii zostaje całkowicie pochłonięta w detektorze

- Przekaz energii na drodze rozpraszania na chmurach elektronowych atomów materiału czynnego
- Spodziewamy się więc, że w odpowiedzi dostaniemy widmo impulsów o rozkładzie normalnym
- Rozkład ten może być niesymetryczny z obciążeniem w kierunku niskich energii
- Związane jest to z:
 - Możliwością ucieczki elektronów przez depozycją całej energii
 - Emisją promieniowania hamowania, które z kolei nie jest rejestrowane

Problemy z **ucieczką** oraz **emisją promieniowania hamowania** należy uwzględnić w projekcie detektora – np. można wybrać lekki materiał oraz odpowiednio dobrać geometrię

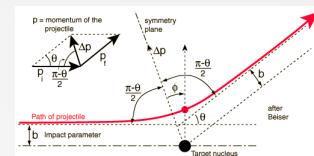
Funkcja odpowiedzi



Zastanówmy się teraz co się stanie, gdy zmienimy typ cząstek promieniowania na strumień fotonów

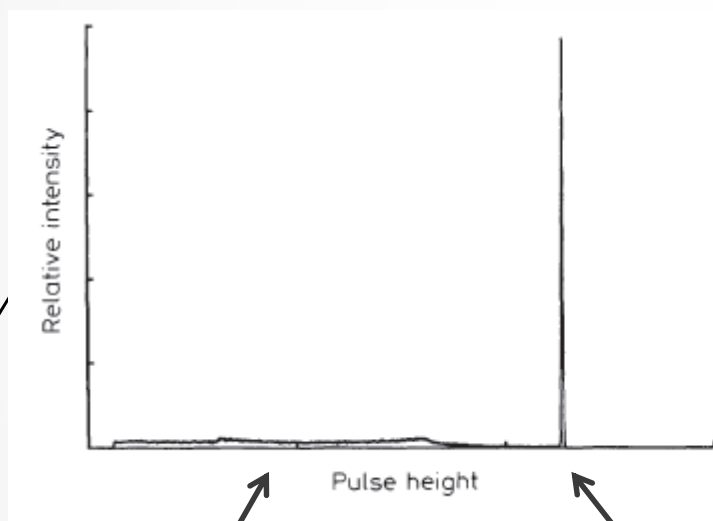
- Zmienia się drastycznie mechanizm oddziaływania – teraz musimy doprowadzić do produkcji cząstek naładowanych
 - Efekt foto-elektryczny – wzbudzenie atomów z emisją elektronów
 - Rozpraszanie Compton'a
 - Krecja par
- Przyjmijmy, że w danym materiale czynnym dominuje pierwszy i drugi typ oddziaływania
- W rezultacie funkcja odpowiedzi będzie zawierać wyraźne **maksimum typu Gauss'a** oraz **widmo ciągłe** związane z rozpraszaniem Comptona
- W tym momencie dochodzimy do slajdu poprzedniego...

Funkcja odpowiedzi



Ten sam typ promieniowania –
fotony o energii ~ 660 keV

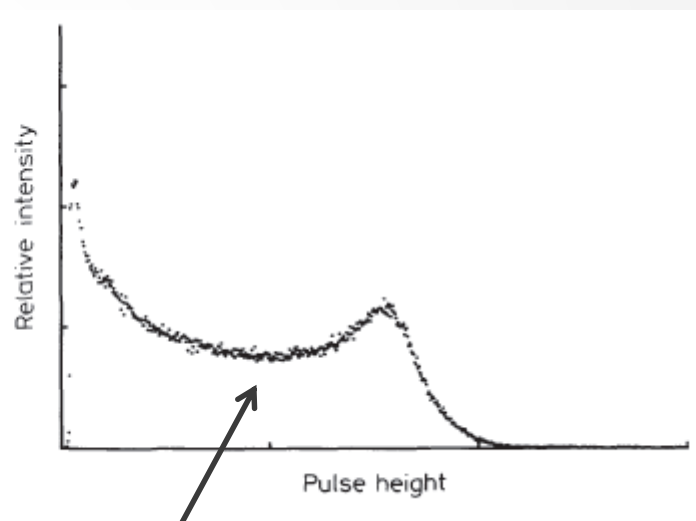
Detektor krzemowy (german)



Rozpraszanie Comptona

Foto-elektrony

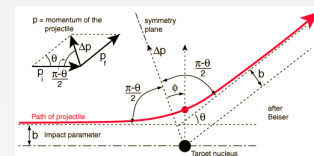
Detektor scyntylacyjny



Rozpraszanie Comptona

- Względne **natężenie widma impulsów** ~ do względnego **przekroju czynnego** na dany typ oddziaływania – funkcja odpowiedzi zależy więc silnie od energii promieniowania!

Funkcja odpowiedzi



- ❑ Ostatecznie – jeżeli mierzymy promieniowanie, które posiada pewne spektrum energii, to odpowiedź naszego detektora, będzie funkcją energii, którą możemy wyrazić jako splot funkcji opisującej widmo promieniowania oraz widmo odpowiedzi detektora

$$f_{ph}(E) = f_p(E') \otimes R(E, E') = \int_{-\infty}^{+\infty} f_p(E') R(E, E') dE'$$

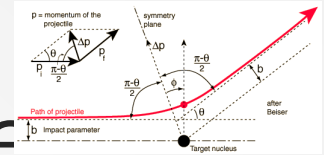
Widmo badanego promieniowania

Funkcja odpowiedzi detektora

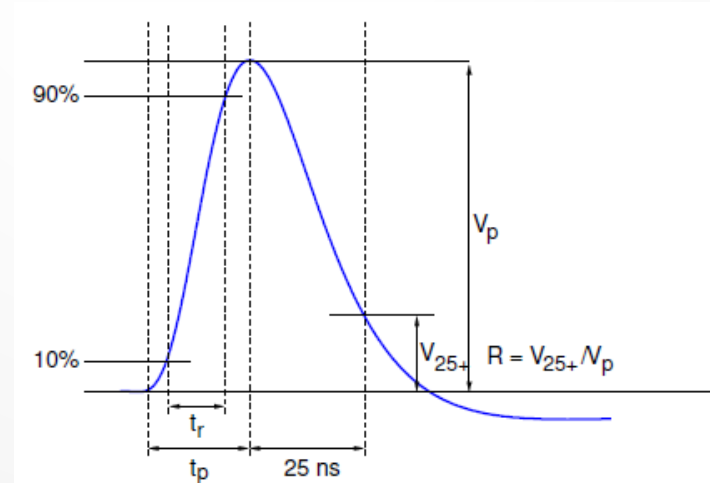
- ❑ Kalibracja krytyczna dla zrozumienia wyników!
- ❑ Idealnie, chcielibyśmy zawsze dostać funkcję odpowiedzi postaci:

$$R(E, E') \propto \delta(E - E')$$

Czasy charakterystyczne

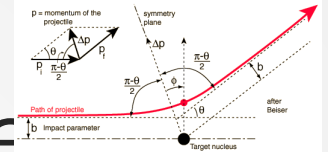


- ❑ Mamy w tej kategorii kilka ciekawych egzemplarzy...
- ❑ Zaczniemy od czasu **odpowiedzi** oraz czasu **martwego**
- ❑ Czas odpowiedzi detektora (ang. response time)
 - ❑ Czas potrzebny na formowanie sygnału po tym, jak cząstka penetrująca oddziałała z materiałem czynnym
 - ❑ Zależy od typu detektora (gazowy, półprzewodnikowy)
 - ❑ Impuls powinien narastać b. szybko
 - ❑ Ważne również jak długo trwa odpowiedź



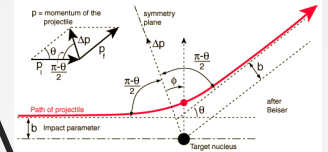
Beetle
dla
LHCb

Czasy charakterystyczne

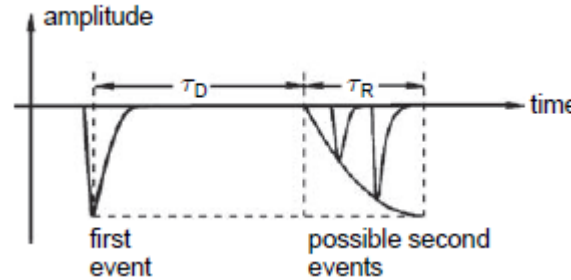


- ❑ **Długość trwania** impulsu określa możliwość obserwacji **następnego przypadku**
- ❑ Mamy możliwość nie akceptowania żadnych nowych przypadków lub dodanie dodatkowego sygnału (pile-up)
 - ❑ W pierwszym przypadku **tracimy** bezpowrotnie dane!
 - ❑ Jeżeli akceptujemy pile-up możemy doprowadzić do zaburzeń sygnału wygenerowanego w detektorze, który z kolei może spowodować, że przypadki mogą być bezużyteczne...
 - ❑ Musimy znaleźć „sweet-spot”
- ❑ W praktyce lepiej jest zaakceptować, że detektor nie może działać z taką samą wydajnością cały czas – musimy wybrać mniejsze zło i wprowadzić czas martwy
- ❑ Zmniejszy to oczywiście wydajność detekcji...

Poprawka na czas martwy



- ❑ Każdy detektor boryka się z czasem martwym



- ❑ Jeżeli jest on stosunkowo „długi”, musimy stosować odpowiednie poprawki
- ❑ Czas, w którym detektor nie akceptuje nowych zdarzeń zależy głównie od zjawisk fizycznych, które wykorzystujemy w procesie detekcji
 - ❑ Scyntylator ~ 1 ns
 - ❑ Krzem ~ 10 ns
 - ❑ G-M ~ 1 ms

$$N_{true} = \frac{N}{1 - N\tau_D}$$